

# Список литературы

- [1] Левчук С.А., Соминский Г.Г., Воскресенский С.В. // Письма в ЖТФ. 1988. Т. 14. В. 13. С. 1194-1197.
- [2] Рабинович М.И., Трубецков Д.И. Введение в теорию колебаний и волн. М.: Наука, 1984. 432 с.
- [3] Соминский Г.Г. В сб.: Лекции по электронике СВЧ (4-я зимняя школа-семинар инженеров). Кн. 3. Саратов: СГУ, 1978. С. 119-138.

Поступило в Редакцию  
29 марта 1990 г.

Письма в ЖТФ, том 16, вып. 10

26 мая 1990 г.

01; 02; 12

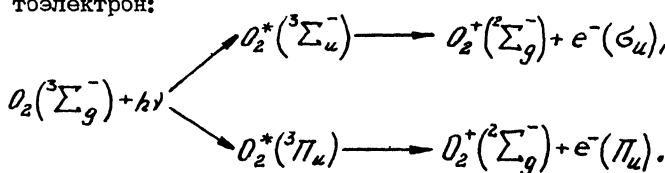
© 1990

## НОВЫЙ МЕТОД НАБЛЮДЕНИЯ ФОТОИОНИЗАЦИИ ОРИЕНТИРОВАННЫХ МОЛЕКУЛ

А.В. Головин, В.В. Кузнецов,  
Н.А. Чепиков

Фотоионизация молекулы, ориентированной в пространстве, позволяет получить наиболее полную информацию о ее структуре [1]. Ориентированными являются, например, молекулы, адсорбированные поверхностью. Однако в этом случае нельзя избавиться от влияния поверхности на изучаемый процесс. В настоящей работе показано, что использование техники совпадений позволяет выделить из всех процессов фотоионизации молекул, находящихся в газообразном состоянии и потому не являющихся ориентированными, такие процессы, которые отвечают фотоионизации молекул, ориентированных определенным образом в пространстве.

В качестве примера в работе изучается диссоциативная фотоионизация молекул  $O_2$  в основном состоянии ( $^3\Sigma_g^-$ ). В результате поглощения неполяризованного фотона молекула переходит в возбужденное состояние, характеризуемое термами  $^3\Sigma_u^+$  и  $^3\Pi_u$ , затем распадается на молекулярный ион в состоянии  $^2\Sigma_g^+$  и фотоэлектрон:



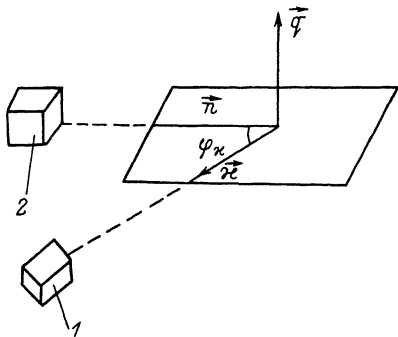


Рис. 1. Схема эксперимента. 1 - детектор электронов, 2 - детектор ионов.

Молекулярный ион  $O_2^+({}^2\Sigma_g^-)$  в свою очередь распадается с образованием атома кислорода в основном состоянии  ${}^3P$  и иона  $O^+({}^4S)$ . Если время распада молекулярного иона  $O_2^+$  ( $t_{\text{расп}}$ ) намного меньше периода вращения  $O_2^+$ , то за время  $t$  ( $t_{\text{расп}}$ ) молекулярный ион не успевает сколько-нибудь заметно повернуться, и ориентацию иона  $O_2^+$  за время  $t$  ( $t_{\text{расп}}$ ) можно считать неизменной. В эксперименте регистрируются на совпадение ион  $O^+$  и фотоэлектрон, вылетающие под некоторым углом друг к другу. Направление оси молекулы в пространстве задает прямая, вдоль которой разлетаются атом и ион кислорода.

В рассматриваемом эксперименте приняты следующие условия наблюдения (см. рис. 1).

- 1) Ось молекулы  $\vec{n}$ , т.е. прямая, вдоль которой разлетаются атом и ион кислорода, перпендикулярна направлению распространения света  $\vec{q}$ .
- 2) Фотоэлектроны регистрируются в плоскости, перпендикулярной направлению распространения света  $\vec{q}$ , т.е.  $\vec{x} \perp \vec{q}$ , где  $\vec{x}$  - единичный вектор в направлении импульса фотоэлектрона.

Как известно [2], угловое распределение фотоэлектронов, выбитых из неориентированных молекул неполяризованным светом, в электрическом дипольном приближении определяется формулой

$$I_K(\vec{x}) = \frac{\sigma_K(\omega)}{4\pi} \left[ 1 - \frac{\beta_K}{2} P_2(\cos \vartheta_x) \right], \quad (1)$$

где  $\sigma_K(\omega)$  - парциальное сечение фотоионизации молекулы,  $\omega$  - частота света,  $\beta_K$  - параметр анизотропии углового распределения,  $\vartheta_x$  - угол между векторами  $\vec{q}$  и  $\vec{x}$ . При сформулированных выше условиях наблюдения этот угол равен  $90^\circ$  и является фиксированным, поэтому интенсивность  $I_K(\vec{x})$  при повороте  $\vec{x}$  вокруг  $\vec{q}$  остается неизменной.

Выражение для углового распределения фотоэлектронов, выбранных неполяризованным светом из ориентированных молекул, было получено в работах [1, 3]. При наших условиях наблюдения эта формула дает:

$$I_K(\vec{\omega}, \vec{n}) = \frac{G_K(\omega)}{4\pi} \cdot (C_1 + C_2 \cos 2\varphi_{\omega}), \quad (2)$$

где  $\varphi_{\omega}$  – угол между векторами  $\vec{n}$  и  $\vec{\omega}$  (см. рис. 1). Если в разложении волновой функции фотоэлектрона по парциальным волнам ограничиться лишь старшей парциальной волной с орбитальным моментом  $\ell = 1$ , то

$$C_1 = \frac{g(d_1^2 + d_0^2)}{4(2d_1^2 + d_0^2)}, \quad C_2 = \frac{g(d_0^2 - d_1^2)}{4(2d_1^2 + d_0^2)}, \quad (3)$$

$$\begin{aligned} d_1^2 &= |\langle 11\frac{1}{2}; \frac{1}{2} | d_1 | 1 \rangle|^2 + |\langle 11-\frac{1}{2}; \frac{1}{2} | d_1 | 0 \rangle|^2 + \\ &+ |\langle 11-\frac{1}{2}; -\frac{1}{2} | d_1 | -1 \rangle|^2 + |\langle 11\frac{1}{2}; -\frac{1}{2} | d_1 | 0 \rangle|^2, \end{aligned} \quad (4)$$

$$\begin{aligned} d_0^2 &= |\langle 10\frac{1}{2}; \frac{1}{2} | d_0 | 1 \rangle|^2 + |\langle 10-\frac{1}{2}; \frac{1}{2} | d_0 | 0 \rangle|^2 + \\ &+ |\langle 10-\frac{1}{2}; -\frac{1}{2} | d_0 | -1 \rangle|^2 + |\langle 10\frac{1}{2}; -\frac{1}{2} | d_0 | 0 \rangle|^2. \end{aligned} \quad (5)$$

Здесь  $\langle l m \mu; \sum_k | d_k | \sum'' \rangle$  – дипольный матричный элемент перехода из начального состояния  $\Lambda'' \Sigma''$  в конечное состояние, содержащее ион ( $\Lambda_k \Sigma_k$ ) фотоэлектрон с квантовыми числами  $l m \mu$ , где  $m$  и  $\mu$  – проекции орбитального момента и спина на молекулярную ось. Формула (4) дает вклад фотоэлектрона, имеющего симметрию  $\pi_\mu$ , а формула (5) – вклад фотоэлектрона с симметрией  $\sigma_\mu$ . Нетрудно убедиться в том, что если преобладающий вклад дают фотоэлектроны с симметрией  $\pi_\mu$ , то распределение (2) имеет минимумы при  $\varphi_{\omega} = \frac{\pi}{2}$  и  $\varphi_{\omega} = \frac{3\pi}{2}$ , максимумы при

$\varphi_{\omega} = 0$  и  $\varphi_{\omega} = \pi$ . Если же преобладает вклад  $\pi$  – фотоэлектронов, то угловое распределение (2), наоборот, имеет минимумы при  $\varphi_{\omega} = 0$  и  $\varphi_{\omega} = \pi$ , максимумы при  $\varphi_{\omega} = \frac{\pi}{2}$  и  $\varphi_{\omega} = \frac{3\pi}{2}$ .

Результаты измерения дифференциального сечения фотоионизации молекул кислорода приведены на рис. 2. Сплошная кривая представляет собой результат аппроксимации экспериментальных точек с помощью формулы (2), полученный методом наименьших квадратов. Вертикальной чертой для каждой точки отмечена статистическая погрешность с доверительной вероятностью 0.63. За единицу при-

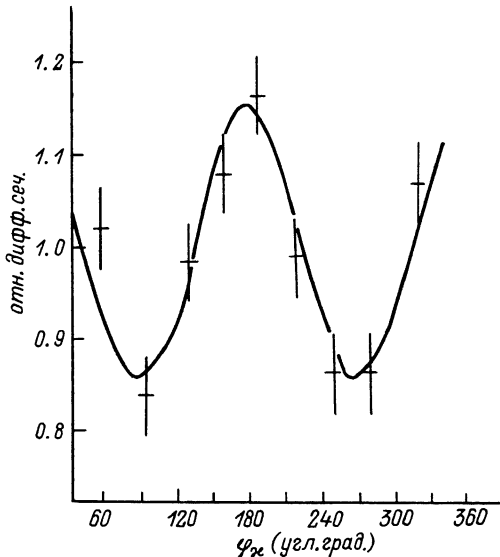


Рис. 2. Относительное дифференциальное сечение фотоионизации ориентированных молекул кислорода неполяризованным светом. Условия эксперимента приведены на рис. 1.

нято сечение, равное среднему арифметическому значений сечения при различных углах  $\varphi_\alpha$ , полученных экспериментально.

Из рис. 2 видно, что при  $\varphi_\alpha = \pi$  дифференциальное сечение имеет максимум, а при  $\varphi_\alpha = \frac{\pi}{2}$  и  $\varphi_\alpha = \frac{3\pi}{2}$  минимумы, при этом сечение в минимумах равно  $\approx 0.85$  от среднего арифметического значения сечения. Отсюда следует вывод, что в процессе фотоионизации молекул  $O_2$  с образованием иона в состоянии  $^2\Sigma_g^+$  вылетающий фотоэлектрон с большей вероятностью обладает симметрией  $\Sigma_u$ , чем  $\pi_u$ . Удобно ввести отношение

$$\frac{C_2}{C_1} = \frac{d_o^2 - d_i^2}{d_o^2 + d_i^2}, \quad (8)$$

которое равно +1, если образуются только фотоэлектроны с симметрией  $\Sigma_u$ , и -1, если образуются только фотоэлектроны с

симметрией  $\pi_u$ . Эксперимент дает значение  $\frac{C_2}{C_1} = 0.145 \pm 0.059$ ,

что согласуется с выводом о том, что образование электронов, имеющих симметрию  $\Sigma_u$ , происходит с большей вероятностью.

Следует отметить, что учет поворота молекулы за время  $t_{\text{расп}}$  уменьшает величину отношения  $\frac{C_2}{C_1}$  по сравнению со зна-

чением, определяемым формулой (6), т.к. для неориентированных молекул  $C_2 = 0$ . Поэтому полученное из экспериментальной кривой значение отношения  $\zeta$  следует рассматривать как нижнюю оценку этого отношения. Учет парциальных волн с большими значениями  $\frac{C_2}{C_1}$  может привести как к уменьшению, так и к увеличению отношения  $\frac{C_2}{C_1}$  по сравнению с величиной, определяемой формулой (6).

## Список литературы

- [1] С h e r e p k o v N.A., K u z n e t s o v V.V. // Z. Phys. D. 1987. V. 7. N 3. P. 271-280.
- [2] T u l l y J.C., B e r r y R.S., D a l t o n B.J. / Phys. Rev. 1968. V. 176. N 1. P. 95-105.
- [3] D i l l D. // J. Chem. Phys. 1976. V. 65. N 3. P. 1130-1133.

Поступило в Редакцию  
19 февраля 1990 г.

Письма в ЖТФ, том 16, вып. 10

26 мая 1990 г.

05.3; 07; 12

© 1990

## ИМПУЛЬСНАЯ ГЕНЕРАЦИЯ $CO_2$ ЛАЗЕРА С УПРАВЛЯЕМЫМ $VO_2$ ЗЕРКАЛОМ

Н.Ф. Б оч о р и ш в и л и, Ю.М. Г е р б ш т е й н,  
О.Б. Д а н и л о в, В.А. К л и м о в,  
Н.Ю. С е н ц о в, И.А. Х а х а е в,  
Ф.А. Ч у д н о в с к и й

В настоящей работе сообщается об управлении генерацией  $CO_2$  лазера на длине волны 10.6 мкм при помощи многослойного оптического резонатора – управляемого лазерного зеркала, содержащего слой двуокиси ванадия. Управление основано на перестройке резонатора в результате фазового перехода диэлектрик–металл в слое двуокиси ванадия при нагревании слоя. Возбуждение заданной моды происходит при нагреве заданного участка зеркала импульсами лазера на неодимовом стекле.

О создании зеркала для  $CO_2$  лазера, принцип действия которого основан на перестройке оптического резонатора при фазовом переходе металл–диэлектрик, а также об управлении таким зеркалом при помощи электронного луча сообщалось в работах [1-3].